

سنگ‌شناسی بازالت‌های کواترنری طبس (خاور ایران)

نوشته: سید محمد هاشمی^{*}، محمدهاشم امامی^{**}، منصور وثوقی عابدینی^{***}، محمد پورمعافی^{***} و منصور قربانی^{***}

^{*}دانشگاه آزاد اسلامی، واحد علوم و تحقیقات، تهران، ایران؛

^{**}سازمان زمین‌شناسی و اکتشافات معدنی کشور، ایران؛

^{***}دانشکده علوم زمین، دانشگاه شهید بهشتی، تهران، ایران.

Petrology of Quaternary Basalts of Tabas (East of Iran)

By: S. M. Hashemi^{*}, M. Emami^{**}, M. Vossoughi Abedini^{***}, M. Pourmoafi^{***} & M. Ghorbani^{***}

^{*}Islamic Azad University, Sciences and Researches Branch, Tehran, Iran

^{**}Geological Survey of Iran, Tehran, Iran

^{***}Earth Science, Faculty, Shahid Beheshti University, Tehran, Iran

تاریخ دریافت: ۱۳۸۵/۰۷/۲۶

چکیده

در جنوب شهر طبس منطقه‌ای به وسعت حدود ۴۰۰ کیلومتر مربع از بازالت‌های مربوط به کواترنری پوشیده شده است که از نظر زمین‌شناسی جزء زون لوت به شمار می‌آیند. براساس مطالعات سنگ‌نگاری و تجزیه میکروپروب الکترونی (EMPA)، بافت این سنگ‌ها بیشتر پورفیری و گاهی آفیریک است. درشت بلورهای این بازالت‌ها به طور عمده اولیوین از نوع کریزوپلیت، اوژیت و پلاژیوکلاز (لابرادوریت تا آندزین) است که در خمیره‌ای از میکروپلیت‌های پلاژیوکلاز و بلورهای ریز پیروکسن و گاه شیشه قرار دارند. براساس نمودارهای مقدار مجموع قلیایی‌ها در مقابل مقدار SiO_2 ماهیت ماقمای این سنگ‌ها قلیایی تا نیمه قلیایی تعیین شد و علت ویژگی‌های نیمه قلیایی پادیده آغشتنگی ماقمای قلیایی با مواد پوسته‌ای است. فقر نیوبیم در سنگ‌های غنی‌تر از SiO_2 یکی از دلایل مهم این پدیده است. نمونه‌های قلیایی دارای نفلین نورماتیو و نمونه‌های نیمه قلیایی دارای کوارتز نورماتیو هستند. مطالعات ایزوتوپ‌های Sr و Nd این آغشتنگی پوسته‌ای را تأیید کرده‌اند و به علاوه نشان‌دهنده این است که منشأ ماقمای اولیه بازالت‌ها از بخش‌های بالای گوشته است. براساس مطالعات صحرایی و نمودارهای زمین‌ساختی - ماقمایی این بازالت‌ها از نوع درون قاره‌ای است که در کواترنری در اثر فعالیت گسل بزرگ نای‌بند و بازشدگی در محل تقاطع با شاخه‌های فرعی این گسل به سطح زمین راه یافته‌اند.

کلید واژه‌ها: طبس، بازالت، قلیایی سدیک، گسل نای‌بند، ایزوتوپ‌های Nd-Sr

Abstract

In southeastern Tabas there is a 400 square kilometer area of Quaternary basalts, which is geologically located in Lut zone. According to petrographic studies and EMPA analysis, the textures of these rocks are generally porphyric and some times aphyric. The phenocrysts of these basalts are generally chrisolite, augite, and plagioclase (andesine to labradorite), which are embedded in a texture of plagioclase microlites and small blades of pyroxene. According to the diagrams of accumulative amount of alkaline against the amount of SiO_2 , the nature of the magma is alkaline to sub-alkaline. The reason for the sub-alkaline character of some of these rocks is that the alkaline magma has been contaminated with crust materials. One of the most important reasons for this is the reduction of niobium in rocks enriched with SiO_2 . The alkaline samples have normative nepheline and the sub-alkaline samples normative quartz. The studies of Nd and Sr isotopes have confirmed the crust contamination and also the source for early magma of basalts is the upper parts of mantle. Based on the field studies and tectono-magmatic diagrams, these basalts are of intercontinental type because of the activities of great fault of Nayband in Quaternary and separation in their cross



point reaching the earth's surface.

Key words: Tabas, Basalt, Sodic alkaline, Nayband fault, Nd-Sr isotops

۱- مقدمه

سنگ‌ها بیشتر از کانیهای ثانویه مانند زئولیت پرشده که به وسیله رنگ سفید کاملاً مشخص هستند (عکس ۳).

۲- روش مطالعه

پس از جمع آوری اطلاعات موجود از منطقه مورد مطالعه، بررسی‌های مقدماتی از کل منطقه و تعیین مسیرهای پیمایش و نمونه برداری انجام و سپس ۱۸۰ نمونه که معرف کل منطقه باشد انتخاب شد. بیش از ۱۲۰ مقطع نازک میکروسکوپی تهیه و مطالعات سنگ‌نگاری آنها انجام شد و سپس ۳۰ نمونه انتخاب و به روش فلورسانس پرتو ایکس (XRF) برای ۳۲ عنصر اصلی و فرعی در شرکت کانتساران بینالود تجزیه شد (جدول ۱). تعداد ۵ نمونه انتخاب و در مرکز تحقیقات فرآوری مواد معدنی ایران در کرج مورد تجزیه مایکروپروب الکترونی (EMPA) قرار گرفت. در این روش، تجزیه کمی نقطه‌ای بر روی درشت بلورهای اولیوین و کلینوپیروکسن انجام شد و تصاویر میکروسکوپی الکترونی به روش BSE برای هر نمونه تهیه شد، همچنین در این مرکز دو نمونه مورد تجزیه کانی‌شناسی به روش XRD قرار گرفت. در نهایت چهار نمونه (۲ نمونه قلیایی، ۲ نمونه نیمه قلیایی)، انتخاب و در دانشگاه کارلتون کانادا مورد تجزیه ایزوتوبی برای ایزوتوپ‌های عناصر Nd و Sr قرار گرفت.

۳- سنگ‌نگاری و نامگذاری

با توجه به مطالعات سنگ‌نگاری مقاطع نازک میکروسکوپی نمونه‌های تهیه شده، ویژگی‌های میکروسکوپی سنگ‌های منطقه مورد مطالعه به شرح زیر است:
بافت: پورفیری با خمیره میکرولیتی و گاهی ریز دانه، برخی نمونه‌ها نیز دارای بافت پورفیری با خمیره میکرولیتی شیشه‌ای است. در برخی از نمونه‌ها حالت جریانی و یا نیمه جریانی در میکرولیت‌های خمیره دیده می‌شود. چنان که گفته شد، بافت این سنگ‌ها پورفیری و بنابراین حاوی درشت بلور خمیره هستند.

درشت بلورها: درشت بلورها از نوع اولیوین، پیروکسن و پلازیوکلاز هستند. درشت بلورهای اولیوین و پیروکسن در تمام نمونه‌ها موجود است، اما برخی از نمونه‌ها قادر درشت بلورهای پلازیوکلاز هستند. مقدار درشت بلورها از حدود ۵ تا ۲۰ درصد متغیر است (عکس ۴).

عدم وجود درشت بلورهای پلازیوکلاز و تفاوت تعداد درشت بلورها در این

بازالت‌های کواترنری یکی از آخرین نشانه‌های ماقوماتیسم در ایران هستند که برخی از آنها در ارتباط با شکستگی‌های ژرف و گسل‌های فعال در طی کواترنری است، منشأ این بازالت‌ها لایه بارور گشته است (اما می، ۱۳۷۹). با توجه به این که این بازالت‌ها جوان و در نتیجه بدون دگرگشانی و هوازدگی هستند، می‌توان ترکیب اولیه ماقمای تشکیل دهنده آنها را به طور دقیق تعیین کرد و در مورد مسائل زمین‌ساختی - ماقمایی آنها اظهار نظر کرد. بازالت‌های کواترنری طبس با توجه به گسترش زیاد و موقعیت خود در خاور ایران از اهمیت خاصی برخوردار هستند و فقط در هنگام تهیه نقشه زمین‌شناسی نای‌بندان و گزارش مربوطه، به صورت گذرا مورد مطالعه قرار گرفته‌اند و این پژوهش، اولین مطالعه سیستماتیک سنگ‌شناسی آنها است و هدف از این تحقیق، بررسی سنگ‌زایی بازالت‌های منطقه و فرایندهای ماقمایی احتمالی صورت گرفته و در نهایت تعیین محیط زمین‌ساختی - ماقمایی منطقه است که در این رابطه باید نقش گسل بزرگ نای‌بند مدنظر قرار گیرد.

۴- موقعیت زمین‌شناسی

منطقه مورد مطالعه در محدوده طول جغرافیایی $57^{\circ} \text{ تا } 57^{\circ} 57'$ خاوری و عرض جغرافیایی $30^{\circ} \text{ تا } 33^{\circ}$ شمالی و در فاصله ۱۴۰ کیلومتری جنوب خاور شهر طبس قرار گرفته است (شکل ۱). این محدوده در نقشه زمین‌شناسی نای‌بندان (مقیاس ۱/۲۵۰۰۰) و نقشه زمین‌شناسی شکست آبشاله (مقیاس ۱/۱۰۰۰۰) قرار دارد و براساس تقسیم بندی‌های پیشنهادی جزو زون لوت به شمار می‌آید. در بخش خاوری منطقه مورد مطالعه، امتداد شمالی گسل بزرگ نای‌بند قرار دارد. وجود چشم‌های آبگرم و سرد و جابه‌جایی رسوبات کواترنری و مسیر آبراهه‌ها دلیل بر فعالیت این گسل در طی کواترنری است. بازالت‌ها در باخته گسل نای‌بند رخمنون دارند و محدوده‌ای به وسعت ۴۰۰ کیلومتر مربع را پوشانده‌اند (شکل ۲). ریخت‌شناسی بازالت‌ها نسبت به اطراف نسبتاً مرتفع بوده و به طور عمده به صورت روانه‌های بازالتی با ستبرای کم بوده و همیزی آنها با سنگ‌های زیرین به صورت دگرگشیب است (عکس ۱). بازالت‌ها از نظر ظاهری حالت بلوکی و قطعه قطعه دارند و به طور عمده سیاه رنگ بوده و بسیار سخت و متراکم و محکم هستند (عکس ۲) و در نمونه دستی بافت آنها به طور عمده دانه‌ریز بوده و برخی نمونه‌ها بافت حفره‌ای دارند که ابعاد حفره‌ها حداکثر تا ۵۰ میلی‌متر می‌رسد و حفره‌های حاشیه



بازالت آندزیتی نامیده می‌شوند. لازم به تذکر است که البته این سنگ‌ها را نمی‌توان با یک خط واضح از یکدیگر جدا نمود، چون تبدیل آنها به یکدیگر ناگهانی نیست و بر حسب شدت تفریق بلورین در ماقماهی اولیه آنها به مرور انجام می‌گیرد.

برای تکمیل اطلاعات، تجزیه کمی نقطه‌ای مایکروپریوب الکترونی (EMPA) (BSE) بر روی ۷۰ نقطه از درشت بلورهای اولیوین و پیروکسن بازالت‌ها انجام شد. عکس ۸ تصویر از فازهای اولیوین و پیروکسن را نشان می‌دهد. بر اساس تجزیه شیمیایی کانی اولیوین و بر اساس درصد وزنی اکسیدها، فرمول کلی اولیوین‌ها به صورت SiO_4 , $\text{Mn}_{0.1114}$, $\text{Fe}_{0.886}$, $\text{Mg}_{1.053}$ (تعیین شد). ترکیب کلی اولیوین‌ها ($\text{Fo} = 48\text{--}64\%$) تعیین گردید که از نوع کربیزولیت هستند (نمودار ۱). برای محاسبه فرمول پیروکسن‌ها از درصد CaO , FeO , MgO که به صورت انسنتیت، فروسلیت و ولاستونیت بیان می‌شوند، استفاده شد و به کمک تعداد مول این اکسیدها، فرمول کلی پیروکسن‌ها به صورت WO41.5, En32, Fs26.5 تعیین شد و مشخص گردید که اغلب ترکیب اوژیت و تعداد کمی ترکیب دیوپسید دارند (نمودار ۲). برای تکمیل اطلاعات حاصله، دو نمونه به روش XRD مورد تجزیه کانی شناسی قرار گرفتند و کانی‌های شناسایی شده شامل لابرادوریت، اولیوین، اوژیت، مانیت و ایلمنیت هستند.

بر اساس رده‌بندی TAS (Le bas, 1986) که بر اساس مجموع قلیایی‌ها در برابر افزایش میزان SiO_2 % است و رده‌بندی فرعی مربوطه اغلب نمونه‌ها در محدوده تراکی بازالت، تراکی آندزیت بازالتی (موژه‌آریت) و آندزیت بازالتی قرار می‌گیرند (نمودار ۳).

بر اساس رده‌بندی فلورید و وینچستر که بر اساس تغییرات Zr/TiO_2 در برابر افزایش میزان Y/Nb است، نمونه‌های مورد مطالعه در محدوده قلیایی بازالت قرار می‌گیرند (نمودار ۴) (Winchester & Floyd, 1978).

۵- مطالعات زمین‌شیمی

بر اساس نتایج حاصله از تجزیه XRF نمونه‌های مورد مطالعه، سری ماقماهی آنها تعیین شد. بر اساس تغییرات مجموع قلیایی‌ها در برابر افزایش SiO_2 (Irvine & Baragar, 1971) نمونه‌ها در صورت تجمعی در محدوده قلیایی و تعدادی در محدوده نیمه قلیایی قرار می‌گیرند که علت آن افزایش میزان نمونه‌های نیمه قلیایی به علت آغشتنگی ماقماهی است که بعداً مورد بحث قرار می‌گیرد. از نمودارهای تغییرات $\text{K}_2\text{O}/\text{Na}_2\text{O}\%$ در برابر افزایش $\text{Na}_2\text{O}/\text{K}_2\text{O}\%$ (Middlemost, 1975) و تغییرات $\text{K}_2\text{O}/\text{Na}_2\text{O}\%$ در برابر افزایش $\text{SiO}_2/\text{Al}_2\text{O}_3\%$ (Emami, 1981) برای تفکیک سری‌های سدیک و پتاسیک از یکدیگر استفاده شد که بر اساس این نمودارها، نمونه‌های مورد مطالعه از نوع

سنگ‌ها حاکی از تفاوت شدت تفریق بلورین در ماقماهی این سنگ‌ها پیش از انجماد جایگیری نهایی است. سنگ‌هایی که حاوی درشت بلورهای پلازیوکلاز هستند ماقماهی آنها تفریق یافته ترین ماقماهی مربوط به سنگ‌های منطقه است. همچنین نسبت بالای تعداد درشت بلورهای اولیوین به پیروکسن نیز گویای شدت تفریق بلورین در ماقماهی این سنگ‌ها است. تمام این ویژگی‌ها در ترکیب شیمیایی این سنگ‌ها نیز مستتر است.

درشت بلورهای اولیوین : درشت بلورهای اولیوین نیمه‌شکل دار تا بی‌شکل هستند، بلورهای خود شکل به ندرت در این سنگ‌ها دیده می‌شود. اندازه بلورها از $1/1$ تا $1/3$ میلی‌متر متغیر است. شکستگی‌های فراوانی در اولیوین‌ها دیده می‌شود و از طریق این شکستگی‌ها و حاشیه به ایدینگریت تبدیل شده‌اند. شدت تبدیل شدگی متغارت است. کانی کاملاً سالم از اولیوین به ندرت دیده می‌شود.

درشت بلورهای پیروکسن : درشت بلورهای پیروکسن به صورت بلورهای نیمه‌شکل دار تا بی‌شکل هستند و فراوانی آنها به طور عمده از اولیوین کمتر است. اندازه این کانی‌ها از $1/2$ تا $1/1$ میلی‌متر متغیر است و بنابراین از اولیوین‌ها کوچک‌تر هستند. رنگ پیروکسن‌ها گاه مایل به بنفش روشن است که حاکی از وجود مقداری عنصر تیتانیم در ساختار آنها است (عکس ۵).

درشت بلورهای پلازیوکلاز : درشت بلورهای پلازیوکلاز اغلب شکل دار تا نیمه‌شکل دار بوده (عکس ۶) و دارای دوقلویی آلیتی هستند، طول این کانی‌ها از $1/1$ تا $1/3$ میلی‌متر متغیر و بدون دگرسانی هستند a و محور بلورشناسی a در این کانی‌ها حاکی از ترکیب آنها در حد لابرادوریت است (وثوقی عابدینی، ۱۳۸۳). این کانی در برخی از سنگ‌های مورد مطالعه وجود ندارد و علت آن عدم شدت تفریق بلورین کافی در ماقما برای تشکیل این کانی در عمق بوده است.

خمیره : حدود ۸۰ درصد سنگ را خمیره تشکیل می‌دهد و چنانچه تذکر داده شد دارای بافت‌های متغارت از نوع میکرولیتی، میکرولیتی شیشه‌ای و میکرولیتی جریانی است. در خمیره سنگ بلورهای تیغه‌ای پلازیوکلاز، پیروکسن و گاهی اولیوین موجود است. در برخی از نمونه‌ها فضای بین پلازیوکلازها را شیشه اشغال کرده است. کانی‌های مات به طور عمده از نوع مگنتیت است در خمیره تمام سنگ‌های مورد مطالعه دیده می‌شود (عکس ۷).

نام سنگ : با در نظر گرفتن بافت و ترکیب کانی شناسی مذکور می‌توان این سنگ‌ها را اولیوین بازالت، بازالت و بازالت آندزیتی نامید. آن دسته از سنگ‌هایی که حاوی مقدار قابل توجهی درشت بلور اولیوین و درشت بلورهای پیروکسن هستند، اولیوین بازالت و آنهایی که حاوی مقدار جزئی درشت بلور اولیوین و درشت بلورهای پیروکسن هستند، بازالت (Michelle et al., 2004) و سنگ‌هایی که علاوه بر درشت بلورهای اولیوین یا پیروکسن یا هر دو، حاوی درشت بلورهای پلازیوکلاز نیز هستند،



(Cousens et al., 1996)، مانند نمونه‌های منطقه مورد مطالعه (جدول ۲)، در

صورتی که نسبت ۸۷Sr/۸۶Sr اولیه یک سنگ بیشتر از ۷/۱ باشد، در این حالت می‌توان گفت که قسمت بیشتر ماگما از پوسته قاره‌ای منشأ گرفته است و در مواردی که این نسبت در محدوده ۷/۱-۰/۷۰-۰/۷۰ قرار گیرد، واقع شود از آمیختگی ماگمای گوشه و پوسته قاره‌ای به نسبت‌های مختلف خواهد بود.

همان طور که در جدول ۲ ملاحظه می‌شود میزان ۸۷Sr/۸۶Sr نمونه‌های قلیایی ۰/۷۰۵۲۹۱ تا ۰/۷۰۵۲۹۸، تغییر می‌کند در حالی که این میزان در نمونه‌های نیمه قلیایی از ۰/۷۰۵۷۷۴ تا ۰/۷۰۵۷۷۷ متغیر است یعنی نمونه‌های نیمه قلیایی مقادیر بیشتری از ۸۷Sr/۸۶Sr نسبت به نمونه‌های قلیایی دارند و غنی‌شدگی نمونه‌های نیمه قلیایی از ایزوتوب‌های Sr، به علت آغشتگی ماگمای آنها در حین صعود با سنگ‌های پوسته‌ای و جذب Sr توسط آنهاست. در مجموع با توجه به مقادیر ۸۷Sr/۸۶Sr نمونه‌های مورد مطالعه، جزو بازالت‌های درون صفحه‌ای قاره‌ای قرار می‌گیرند.

مقادیر Nd^{۱۴۳} برای همه نمونه‌ها بیشتر از صفر، یعنی Nd^{۱۴۳} مثبت است. لذا ماگمای آنها از گوشه‌تهی شده حاصل شده است. همان طور که ملاحظه می‌شود برای نمونه‌های قلیایی Nd^{۱۴۳} بین ۰/۹۴۰-۰/۹۱۰ می‌باشد و برای نمونه‌های نیمه قلیایی Nd^{۱۴۳} بین ۱/۳۲ تا ۱/۳۴ متغیر است به عبارت دیگر نمونه‌های نیمه قلیایی مقادیر بیشتر و مثبت‌تر و در نتیجه تهی شده‌تر از انواع قلیایی دارند و علت آن جذب برخی عناصر کمیاب گوشه‌ای مانند Ce و Nb در حین صعود ماگمای آنها توسط سنگ‌های پوسته‌ای است.

نمودار ۱۵ موقعیت نمونه‌های مورد مطالعه بازالت‌های طبیس را در نمودار تغییرات Nd^{۱۴۳} در برابر تغییرات Sr^{۸۷} نشان می‌دهد.

از نسبت‌های ایزوتوبی Sr و Ba و مقادیر Nd^{۱۴۳} برای تعیین منشأ بازالت‌ها استفاده می‌شود (نمودارهای ۱۶ و ۱۷) (Halliday et al., 1995). نمونه‌های مورد مطالعه بر روی این نمودارها رسم شد همان طور که ملاحظه می‌شود، نمونه‌های مورد مطالعه به مقادیر گوشه اولیه (PM) نزدیک است، بنابراین گوشه سمت کره‌ای به عنوان منشأ اصلی ولکانیسم بازالتی در منطقه معرفی می‌شود. کارلسون و دیپالولو منشأ مشابهی را برای بازالت‌های رودخانه کلمبیا و همچنین پارلاک برای بازالت‌های آدانا در ترکیه معرفی کرده‌اند (Carlson et al., 1981 & Depaolo, 1988 & Parlak et al., 2000) یک نمونه (D.16) از بقیه نمونه‌ها و همچنین خط PM دور است، این نمونه مقدار Nb کمتری نسبت به دیگر نمونه‌ها دارد و به علاوه میزان SiO₂ آن بیشترین مقدار در ۳۰ نمونه تجزیه را دارد (۷/۲۷٪) و میزان کوارتز نورماتیو آن ۴۵٪ است که این می‌تواند نشان دهنده آغشتگی این نمونه با سنگ‌های پوسته‌ای نسبت به سه نمونه دیگر باشد (نمودارهای ۱۶ و ۱۷).

از تریاس به بعد، بلوک لوت در جهت پاد ساعتگرد حرکت کرده و در

سدیک هستند (نمودار ۵ و ۶).

نمونه‌های نیمه قلیایی حداکثر تا ۸/۱ درصد دارای کوارتز نورماتیو است در حالی که نمونه‌های قلیایی حداکثر ۱۵ درصد نفلین نورماتیو دارند. رفتار زمین‌شیمیایی اکسیدهای عناصر اصلی و عناصر فرعی در برابر افزایش SiO₂ و MgO برسی شد. با افزایش SiO₂ و یا کاهش MgO Fe₂O₃, FeO*, TiO₂, CaO K₂O, Na₂O میزان میزان Al₂O₃ با افزایش میزان SiO₂ کاهش می‌یابد که نشان دهنده آغشتگی ماگما با سنگ‌های سیلیسی مسیر و افزایش میزان SiO₂ در نمونه هاست. با افزایش میزان میزان V, Ni, Co, Cr MgO مقدار کاهش و افزایش Rb و Ga, Ba و Nb با افزایش می‌یابد که نشان دهنده روند عادی تبلور و تفربیق ماگماست (شکل ۳).

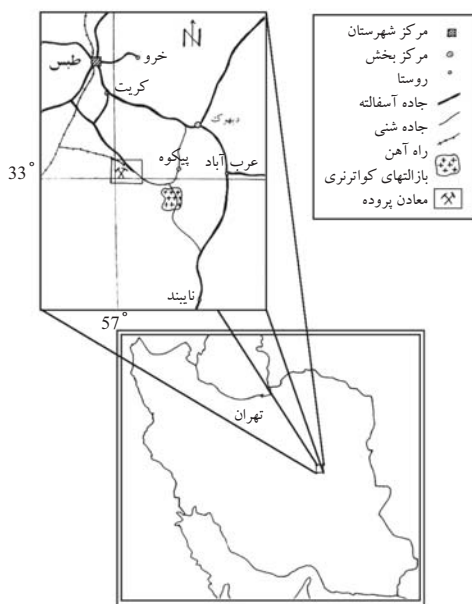
از مطالعات زمین‌شیمیایی برای تعیین محیط زمین‌ساختی - ماگمای سنگ‌ها استفاده می‌شود (Rollinson, 1993). برای این منظور از نمودار Zr در برابر TiO₂ (Pearce, 1980) براساس این نمودار، تمام نمونه‌های بازالتی مورد مطالعه در محدوده (نمودار ۸). براساس این نمودار، تمام نمونه‌های بازالتی مورد مطالعه در محدوده گذرازهای درون صفحه‌ای قرار گرفته و تمرکز آنها در یک محل نمایانگر ارتباط زایشی آنها است. به کمک نمودارهای زمین‌ساختی - ماگمایی که بر اساس میزان عناصر کمیاب طراحی شده‌اند، نمونه‌های مورد مطالعه، جزو بازالت‌های درون صفحه‌ای می‌باشند (نمودارهای ۹ و ۱۱ و ۱۲). نمودار عنکبوتی میانگین بازالت‌های طبیس که به وسیله MORB بهنجار سازی شده‌اند (Pearce, 1980) دارای الگوی محدب شکل شبیه به الگوی بازالت‌های درون صفحات قاره‌ای می‌باشد (نمودار ۱۳). غنی‌شدگی عناصر Rb و LILE و (Ba) و U و کاهش عناصر خاکی کمیاب در نمودار عنکبوتی (Sun, 1980) که به وسیله کندریت بهنجار سازی شده است، مشاهده می‌شود که بیانگر درجات ذوب بخشی کم بازالت‌های طبیس است (نمودار ۱۴).

۶- مطالعات ایزوتوبی Nd و Sr

با توجه به اهمیت و دقیقیت مطالعات ایزوتوبی عناصر Nd و Sr در تعیین منشأ ماگما و تحولات ماگمایی از قبیل آلایش و آغشتگی ماگما تعداد چهار نمونه از بازالت‌های منطقه مورد مطالعه (دو نمونه قلیایی و دو نمونه نیمه قلیایی) انتخاب و در دانشگاه کارلتون کانادا مورد تجزیه ایزوتوبی پرتوزا برای ایزوتوب‌های Nd^{۱۴۳} قرار گرفت. نتایج تجزیه ایزوتوبی در جدول ۲ آورده شده است. میزان ۸۷Sr/۸۶Sr در گوشه پایین (به علت پایین بودن مقدار Rb) و در پوسته‌ی قاره‌ای بالاست. سنگ‌هایی که میزان ۸۷Sr/۸۶Sr اولیه آنها کمتر از ۷/۰۷ باشد، به طور قاطع می‌توان گفت که ماگمای اولیه آنها از گوشه سرچشم‌گرفته است که در مسیر با پوسته آغشتگی پیدا نموده است

بوده که ماقمای مادر آنها از گوشه‌تهای بالایی با درجات ذوب بخشی کم منشأ گرفته و روند تفرقی و تبلور عادی را طی کرده و ماقمای مادر حین صعود با سنگ‌های سیلیسی پوسته آغشته‌گی نموده و ترکیب شیمیایی آن تغییر کمی کرده است و باعث بروز ویژگی‌های نیمه قلایی و وجود کوارتز نورماتیو در برخی نمونه‌ها شده است. با توجه به مطالعات صحرایی و نمودارهای زمین‌ساختی - ماقمایی و عنکبوتی بازالت‌های طبس جزو بازالت‌های درون صفحه‌های قاره‌ای بوده که در اثر فعالیت و کشش و بازشدگی گسل بزرگ‌نای بندوشاخصه‌های فرعی آن در اوایل کواترنری فوران کرده‌اند.

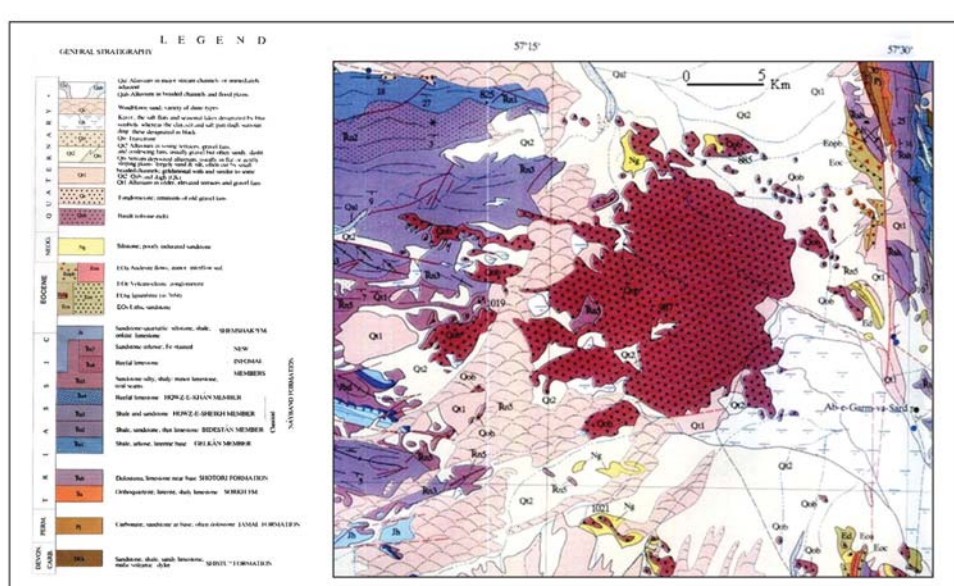
کواترنری، در اثر ادامه این حرکات و همچنین حرکت صفحه عربستان به سمت شمال خاور و تأثیر مؤلفه‌های شمال باخترا حرکت صفحه هند، باعث شده از گسل‌های اصلی مانند گسل نای‌بند که با روند شمال - جنوب فعالیت داشته، گسل‌های فرعی با روند خاوری - باخترا ایجاد شده و بلوک‌های حاصل در بین گسل اصلی و این گسل‌های فرعی در اثر حرکات کششی و به صورت محدود در محل تقاطع گسل‌ها بازشدگی داشته و در راستای آنها فعالیت‌های آتشفسانی کواترنری به وجود آمده است (شکل ۴).



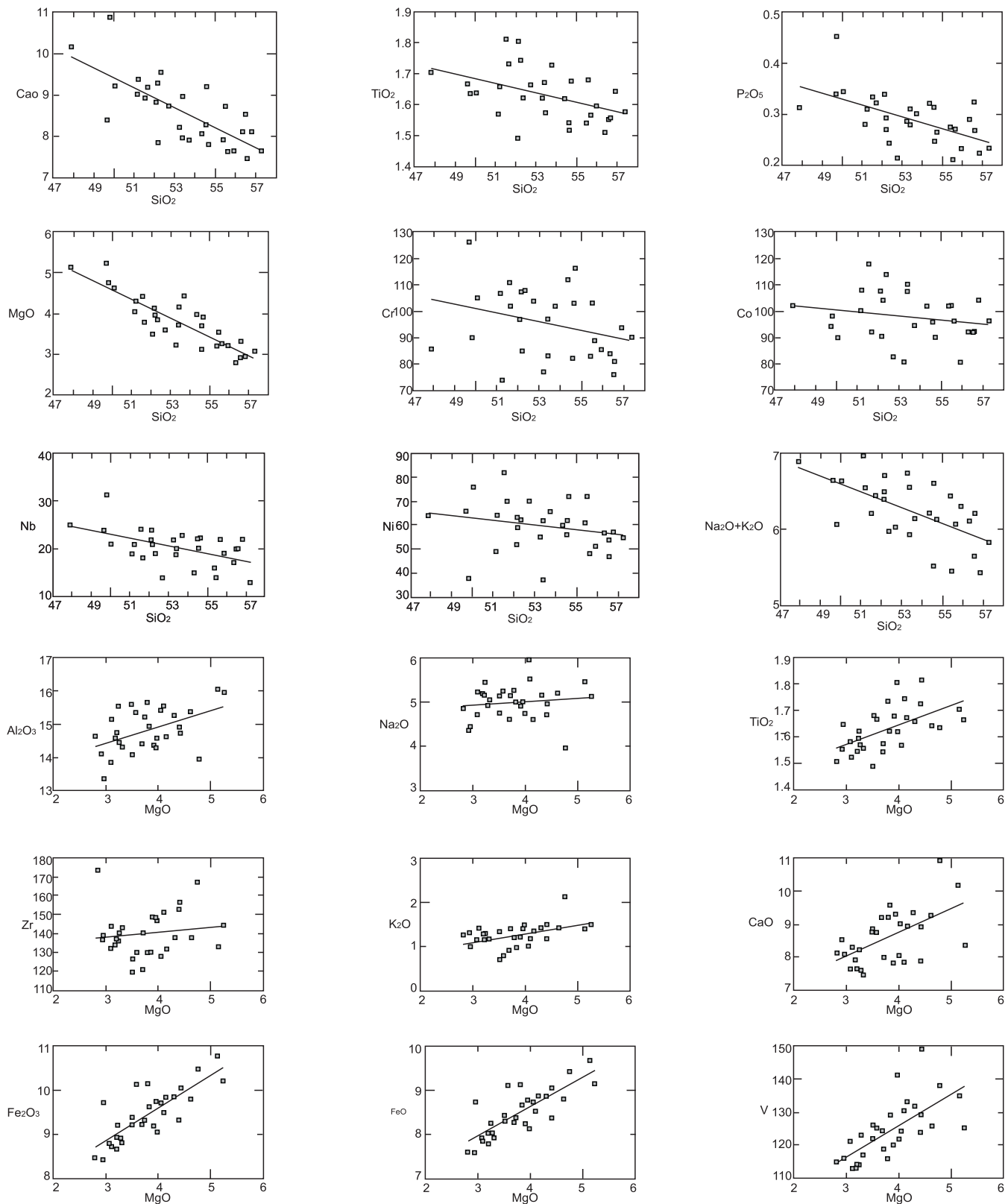
شکل ۱ - موقعیت جغرافیایی منطقه مورد مطالعه و راه‌های دسترسی به آن.

۷- نتیجه‌گیری

بازالت‌های طبس، بخشی از آتشفسانی خاور ایران بوده که در مجاورت گسل بزرگ و فعال نای‌بند در کواترنری فوران کرده‌اند. بر اساس مطالعات سنگ‌نگاری و تجزیه مایکروپروروب الکترونی (EMPA) سنگ‌های منطقه به طور عمده اولیوین بازالت تا بازالت آندزیتی هستند. بافت آنها پورفیری با خمیره میکرولیتی شیشه‌ای است که در برخی نمونه‌ها حالت جریانی و یا نیمه جریانی در میکرولیت‌های پلازیوکلаз خمیره دیده می‌شود. درشت‌بلورها حداکثر ۲۰ درصد سنگ را تشکیل می‌دهند و شامل اولیوین (کریزولیت) و کلینوپیروکسن (اوژیت) هستند، نمونه‌هایی که تفرقی بیشتری یافته‌اند، دارای مقداری درشت‌بلور پلازیوکلاز به طور عمده از نوع لابرادوریت هستند. وجود اولیوین‌های Mg دار یانگر منشأ گوشه‌های ماقما و تفرقی کم و صعود سریع تر ماقماست. با توجه به مطالعات زمین‌شیمیایی و رفتار اکسیدهای عناصر اصلی و کمیاب و ویژگی‌های ایزوتوپ‌های عناصر Sr و Nd، این بازالت‌ها جزو سری قلایی سدیک

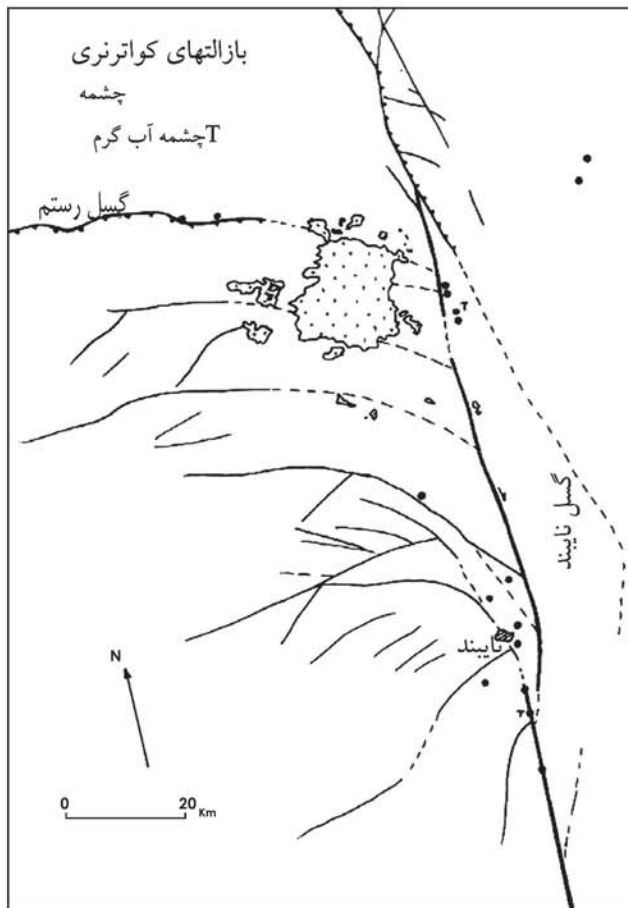


شکل ۲ - نقشه زمین‌شناسی منطقه مورد مطالعه با مقیاس ۱:۲۵۰,۰۰۰ (سازمان زمین‌شناسی کشور، نای‌بند، گزارش شماره ۸J)



(Harker, 1909)

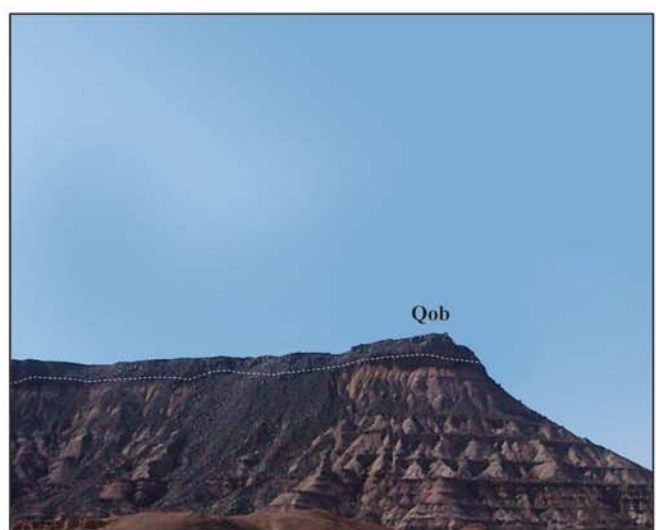
A: Volcanic arc lavas ; B: MORB ; C: Within plate Lava



شکل ۴ - موقعیت بازالت‌های کواترنری طبس و ارتباط آنها با گسل بزرگ نای‌بند و سایر گسل‌های منطقه (ناظمنی، ۱۳۷۷) (تهیه شده بر اساس تصاویر ماهواره‌ای با مقیاس ۱:۱۰۰۰۰۰)



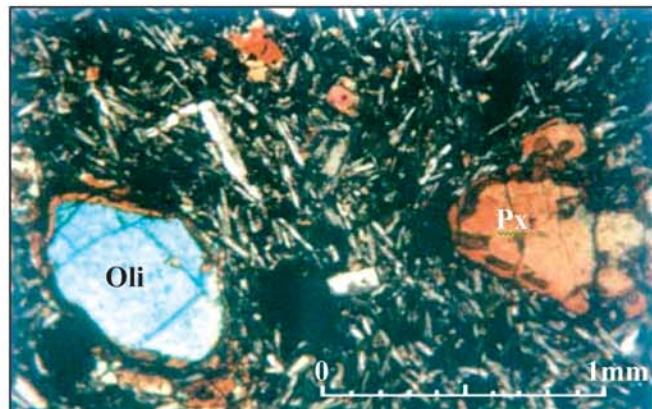
عکس ۲ - ساختار بلوکی و قطعه قطعه‌ای در بازالت‌های سیاه رنگ و سخت و متراکم نگاه به سمت خاور است و دامنه باخته‌ی رشته کوه شتری مشاهده می‌شود.



عکس ۱ - جایگیری گدازه‌های بازالتی (Qob) بر روی رسوبات تریاس .
نگاه به سمت جنوب باختر



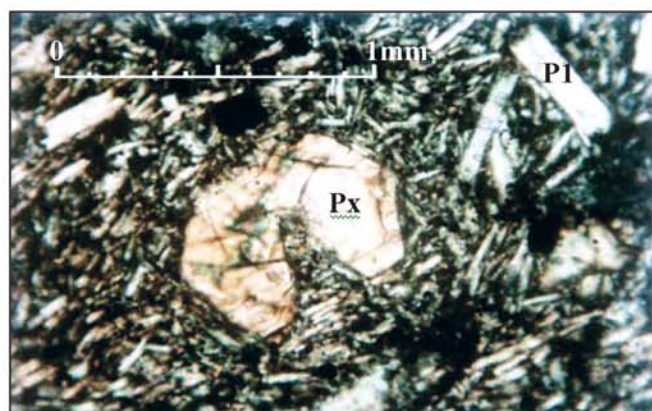
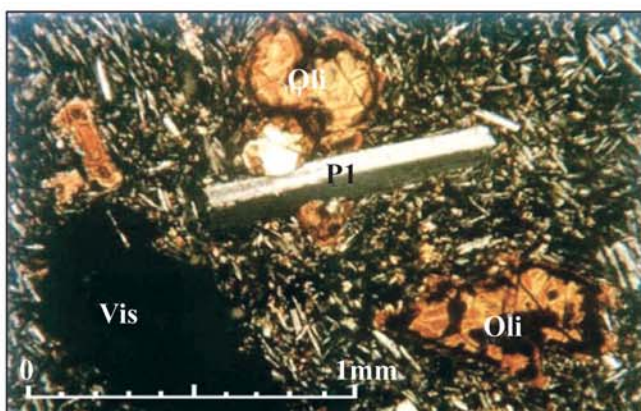
عکس ۳ - ساخت حفره‌ای در بازالت‌ها. حفره‌های حاشیه سنگ توسط کانی زئولیت «سفید رنگ» پر شده‌اند.



ب

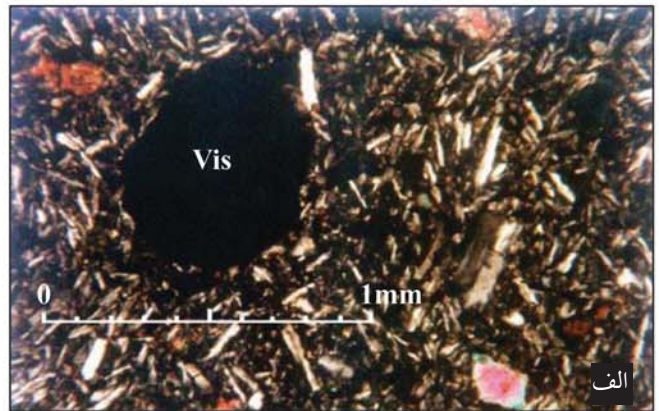
الف

عکس ۴ - بافت پورفیری با خمیره میکرولیتی نیمه جریانی و درشت بلورهای اولیوین و کلینوپیروکسن با حاشیه و اکنشی
الف) با استفاده از تجزیه کننده (آنالیزور)(XPL)
ب) بدون استفاده از تجزیه کننده (PPL)

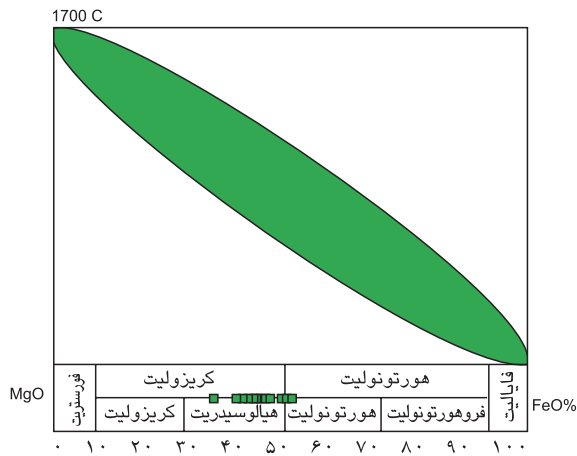


عکس ۶ - بلورهای درشت اولیوین و درشت بلور پلازیوکلاز در خمیره میکرولیتی، در قسمت پایین و چپ یک حفره دیده می‌شود.

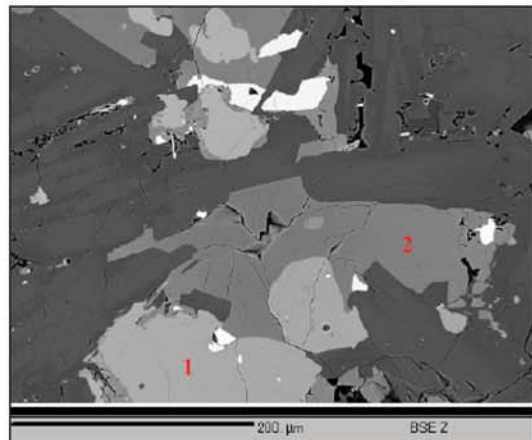
عکس ۵ - درشت بلور اوزیت که Ti جذب نموده و مایل به بنفش است
(PPL)



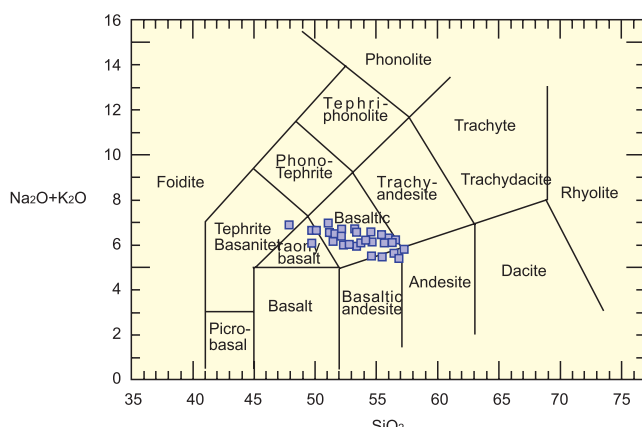
عکس ۷ - خمیره میکرولیتی که تعدادی ریز بلورهای اولیوین و کلینوپیروکسن و مقداری شیشه و اکسیدهای آهن (به رنگ سیاه در شکل ب) نیز وجود دارد. یک حفره تمیز و خالی در عکس دیده می‌شود. (الف) با استفاده از تجزیه کننده (XPL) (ب) بدون استفاده از تجزیه کننده (PPL).



نمودار ۱ - اولیوین‌های نمونه‌های مورد مطالعه در نمودار فورسترتیت - فایالیت، اغلب نمونه‌ها در محدوده فورسترتیت ۴۸٪ تا ۶۴٪ قرار دارند.

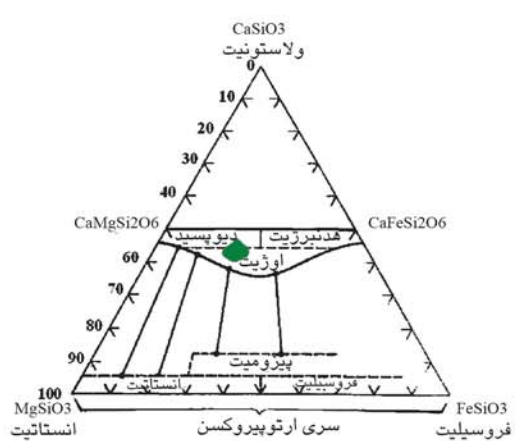


عکس ۸ - تصویر BSE میکروسکوپ الکترونی برای فازهای ۱- اولیوین - پیروکسن

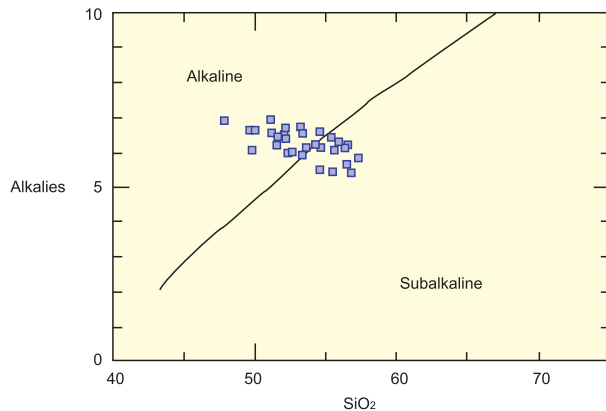


نمودار ۳ - رده‌بندی سنگ‌های آتش‌شانی منطقه مورد مطالعه ،

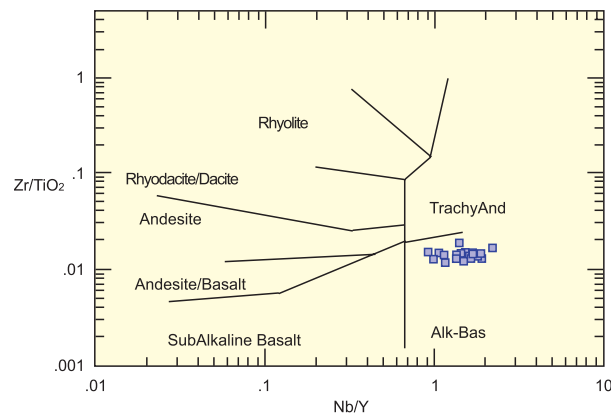
(Le bas et al., 1986) TAS



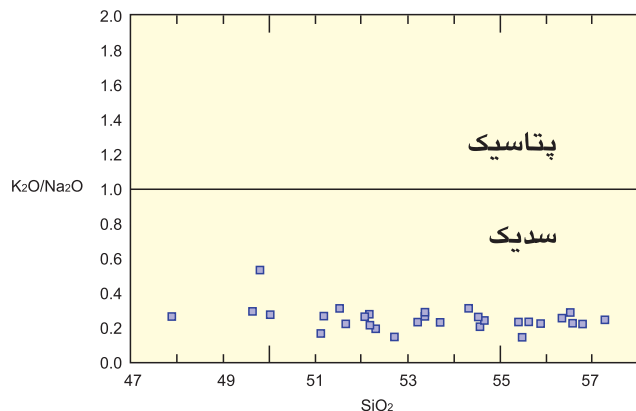
نمودار ۲ - ترکیب پیروکسن‌های بازالت‌های طبس را نشان می‌دهد .



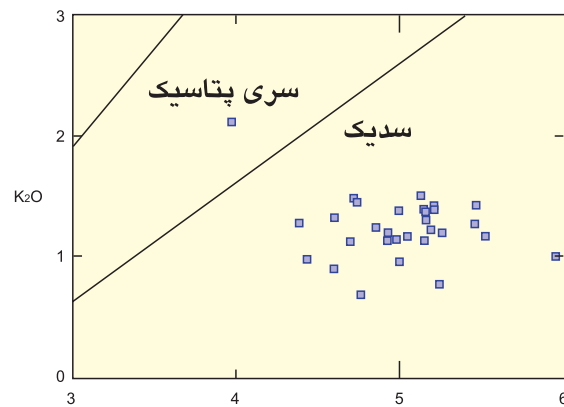
نمودار ۵ - تفکیک سری‌های قلیایی و نیمه قلیایی
(Irvine and Baragar, 1971)



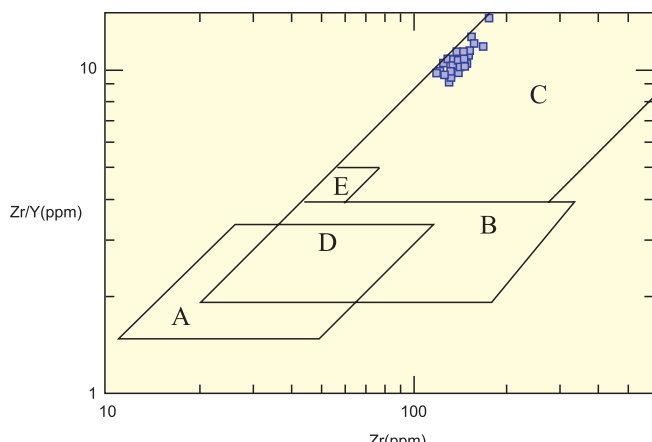
نمودار ۴ - رده‌بندی سنگ‌های آتش‌شانی
(Winchester and Floyd, 1978)



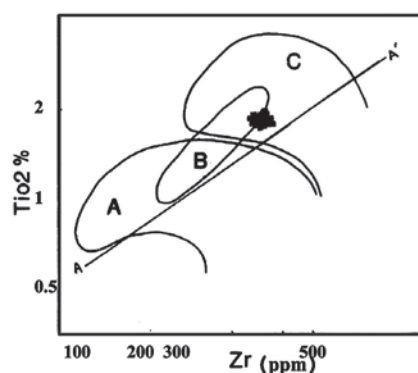
نمودار ۷ - تفکیک سری‌های سدیک و پتاسیک (Emami, 1981)



نمودار ۶ - تفکیک سری‌های سدیک و پتاسیک
(Irvine and Baragar, 1971)



نمودار ۹ - تعیین موقعیت زمین‌ساختی بازالت‌ها براساس Zr/Y و Zr (Pearce and Norry, 1979)



نمودار ۸ - تغییرات (Zr (ppm) در برابر (% TiO_2) برای تمایز محیط‌های زمین‌ساختی مختلف (Pearce, 1980)

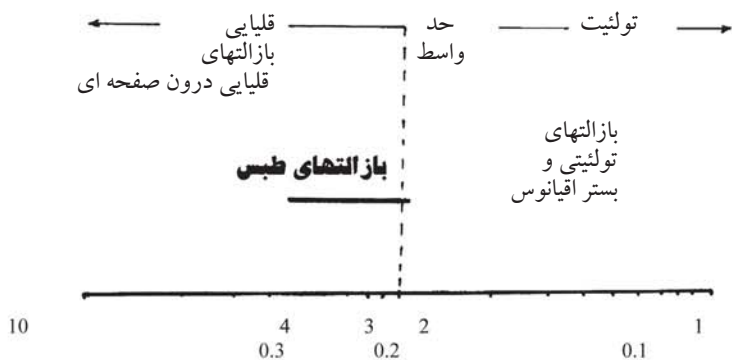
MORB:B : بازالت‌های کمان آتش‌شانی؛

A : بازالت‌های درون صفحه‌ای؛

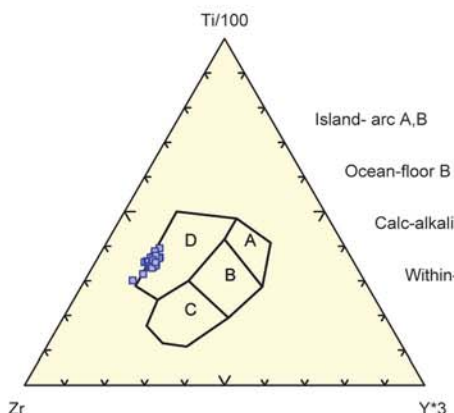
C : بازالت‌های کمان آتش‌شانی + MORB

D : بازالت‌های درون صفحه‌ای + MORB

E : بازالت‌های کمان آتش‌شانی + MORB

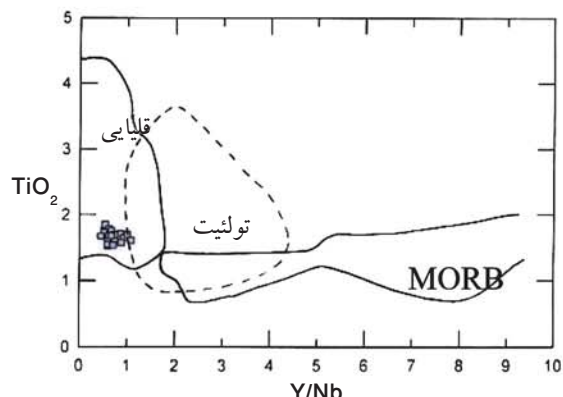
نمودار ۱۰ - نمودار شاخص سنگ‌زایی Y/Nb برای انواع بازالت‌ها

(Pearce and Cann, 1973)



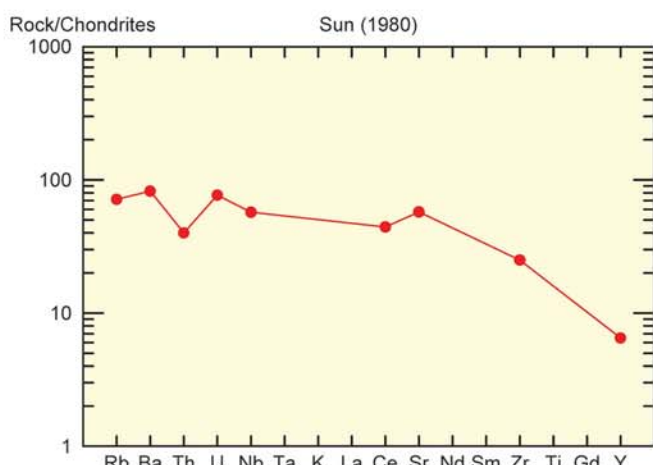
نمودار ۱۲ - تعیین محیط زمین‌ساختی فوران انواع بازالت‌ها

(Pearce and Cann, 1973)



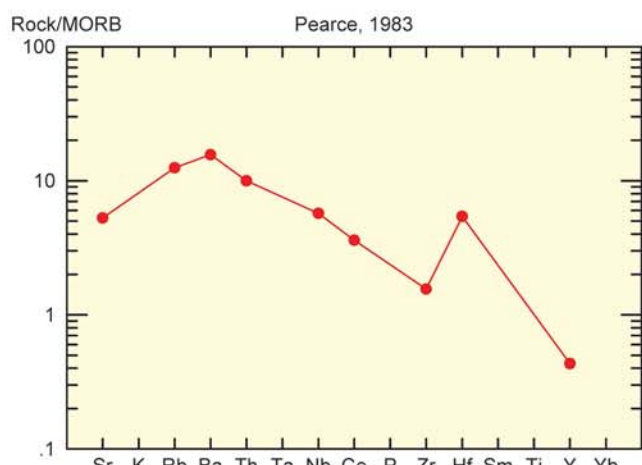
نمودار ۱۱ - تفکیک انواع بازالت‌های درون صفحه‌ای

(Winchester and Floyd, 1978)



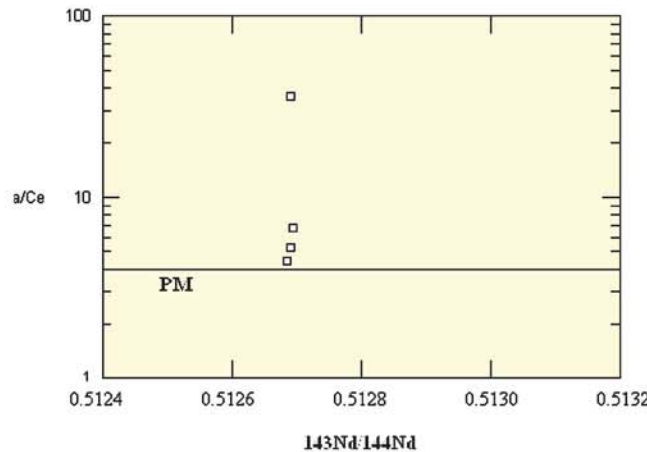
نمودار ۱۴ - نمودار عنکبوتی میانگین بازالت‌های طبس که با کندریت

بهنجار شده‌اند (Sun, 1980)

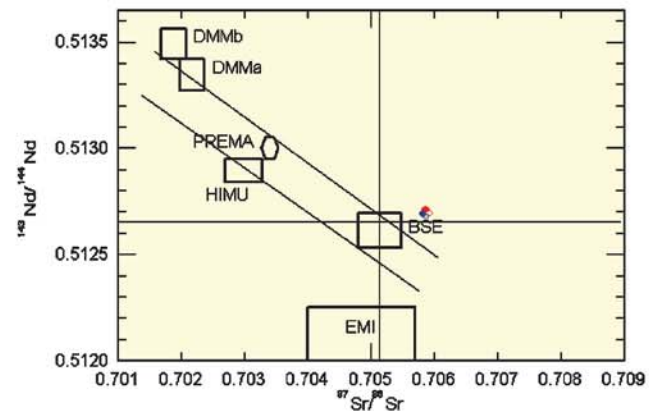


نمودار ۱۳ - نمودار عنکبوتی میانگین بازالت‌های طبس که با MORB

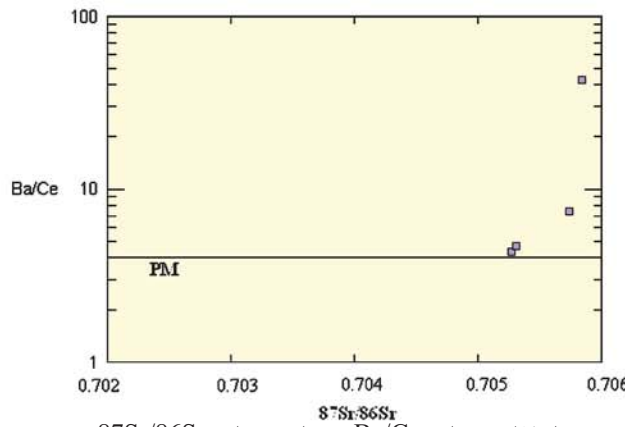
بهنجار شده‌اند (Pearce, 1983)



نمودار ۱۶ - تغییرات Ba/Ce در برابر تغییرات $^{143}\text{Nd}/^{144}\text{Nd}$
(Halliday et al., 1995)



نمودار ۱۵ - موقعیت نمونه‌های منطقه مورد مطالعه در نمودار تغییرات ϵ_{Nd} در برابر تغییرات ϵ_{Sr}



نمودار ۱۷ - تغییرات Ba/Ce در برابر تغییرات $^{87}\text{Sr}/^{86}\text{Sr}$
(Halliday et al., 1995)

کتابنگاری

امامی، م.، ۱۳۷۹ - ماگماتیسم در ایران، سازمان زمین‌شناسی و اکتشافات معدنی کشور، ۶۰۸ صفحه
ناظامی، م.، ۱۳۷۷ - نوزمین ساخت بلوک طبس با نگرشی بر زمین‌شناسی ساختمانی ناحیه قوری چای (ناحیه زغالدار پروده - جنوب طبس) رساله دوره کارشناسی ارشد تکنوتکنیک، پژوهشکده علوم زمین، سازمان زمین‌شناسی و اکتشافات معدنی کشور.
وثوقی عابدینی، م.، ۱۳۸۳ - مبانی تئوری و عملی کانی‌شناسی نوری - آرین زمین.

References

- Carlson, R.W., Lugmair, G.W. & Macdaugall, J.D., 1981- Columbia River volcanism;the question of mantle heterogeneity or crustal contamination.Geochemica et Cosmochimica Acta,45,2483-2500.
- Coombs, Michelle L. & Gardner, James E. , 2004- Reaction rim growth on olivine in silicic melts: Implications for magma mixing American Mineral , No. 89: 748 – 758



- Cousens, B.L, Basu. A. & Hart, S., 1996- Depleted and enriched upper mantle sources for basaltic rocks from diverse tectonic environments in the northeast Pacific Ocean: the generation of oceanic alkaline vs. tholeiitic basalts, American geophysical union geophysical monograph 95, P.207-231.
- Depaolo, D.J., 1988- Neodymium isotope geochemistry: An introduction. Springer Verlag, New York.
- Emami, M.H., 1981- Gologie de la region de Qom-Aran(Iran).Contribution a L etude dynamique et geochemique du volcanisme tertiaire de l'Iran Central.Fac,489P.30cm,6,Abstr.Eng,BiBl.18P.These doct.Sci., Naturelles/ Grenoble 1/1981
- Halliday, A.N.,Lee, D.C., Tommasini, S., Davis, G.R.,P.R., Fitton, J.G. & James, D.E., 1995-Incompatible trace elements in OIB & MORB & source enrichment in the sub-oceanic mantle.Earth and Planetary Science Letters,133,379-395
- Harker A., 1909- The natural history of igneous rocks. Methuen, London.
- Irvine, T.N. & Baragar, W.R.B., 1971- A guide to the chemical classification of the common volcanic rocks, Can.J.Earth.Sci, 8, P.523-548
- Kluver, H.M. , Tirrul ,R ,Chance , P.N.Johns , G.W ., Meixner , H.M., 1983- Explanatory text of the Naybandan Quadrangle Map (1 : 250000) , Geol. Survey Iran, Rep. No.J8, 143 P.
- Le bas, Le Maitre, Streckeisen & Zanettin, 1986- A Chemical classification of volcanic rocks Based on the Total-Alkali- Silica. Diagram. J. pet, vol. 27, part 3, P.745-750.
- Middlemost, E.A.K., 1975-The basalt clan. Earth Sci. Rev., 11, 337-364.
- Parlak, O., Delaloye, M., Kozlu, H. & Fontignie, D. (2000- Trace element and Sr-Nd isotope geochemistry of the alkali basalts observed along the Yumurtalik Fault (Adana) in southern Turkey, Bult. Earth sci. Hacettepe university, P.137-148.
- Pearce, J.A. & Cann, J.R., 1973- Tectonic setting of basic volcanic rocks and determined using trace element analyses, Earth and Planet. P.290-300
- Pearce, J.A., 1980- Geochemical evidence for the genesis and eruptive setting of lavas from Tethyan ophiolites. Proc. Int. Ophiolite Symp., Cyprus 1979. Institute of Mining and Metallurgy, pp. 261-272.
- Pearce, J.A., 1983- Role of the sub-continental lithosphere in magma genesis at active continental margins. In: Hawkesworth C.J. and Norry M.J.(eds.), Continental basalts and mantle xenoliths. Shiva, Nantwich, pp. 230-249.
- Pearce. J. A. & Norry, J., 1979- Petrogenetic implications of Ti, Zr, Y, and Nb variations in volcanic rocks. Contrib. Mineral, petrol, v.69, P.33-47.
- Rollinson, H, 1993- Using geochemical data: evaluation, presentation, interpretation: Longman Group publi; 344. P.
- Sun, S. S., 1980- Lead isotopic study of young volcanic rocks from mid-ocean ridges, ocean islands and island arcs. Phil. Trans. R. Soc., A297, 409-445.
- Winchester, J.A & Floyed, P.A., 1978-Geochemical discrimination of different magma series and their differentiation products using immobile elements: chem. Geol.20, P.325-343.